

# Soutenance de stage de L3

## Cryptanalyse linéaire expérimentale de DES

Lucas Pesenti<sup>1</sup>

juin – juillet 2017

---

1. Sous la direction de François-Xavier Standaert dans l'équipe UCL Crypto de Louvain-la-Neuve (Belgique).

## 1 Vue d'ensemble de l'attaque

- Présentation de DES
- Fonctionnement général de l'attaque

## 2 Génération des approximations linéaires

- Généralités
- Combinaison d'approximations
- Génération des approximations sur 1 round
- Résultats

## 3 Phase d'attaque

- Cryptanalyse multilinéaire (modèle d'Hermelin)
- Optimisation temporelle du déchiffrement partiel
- Estimation de rang
- Résultats de l'attaque

## 1 Vue d'ensemble de l'attaque

- Présentation de DES
- Fonctionnement général de l'attaque

## 2 Génération des approximations linéaires

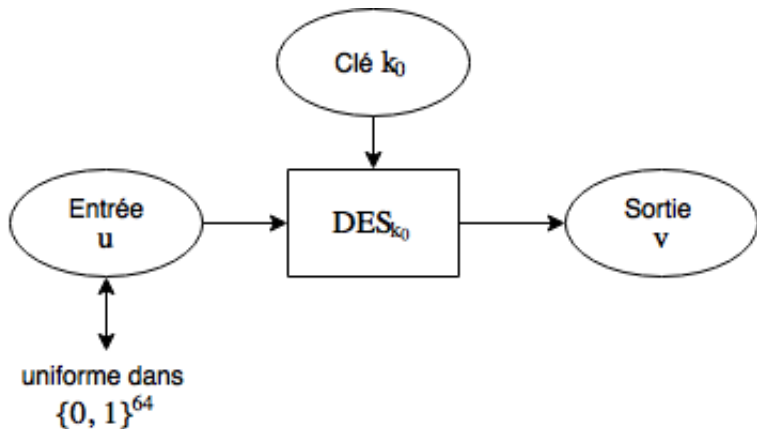
- Généralités
- Combinaison d'approximations
- Génération des approximations sur 1 round
- Résultats

## 3 Phase d'attaque

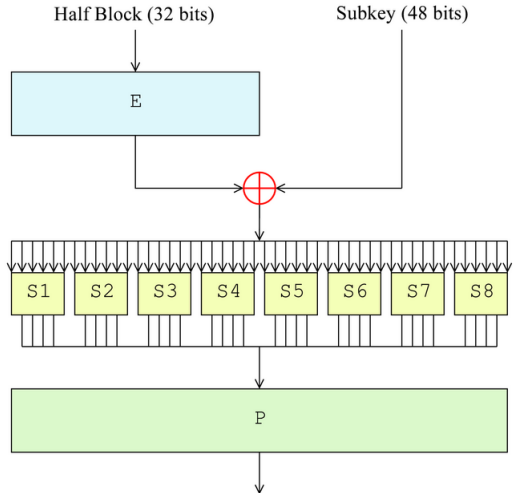
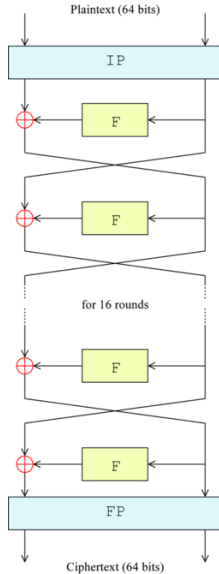
- Cryptanalyse multilinéaire (modèle d'Hermelin)
- Optimisation temporelle du déchiffrement partiel
- Estimation de rang
- Résultats de l'attaque

## Présentation de DES

- Entrée sur 64 bits.
- Clé sur 56 bits.

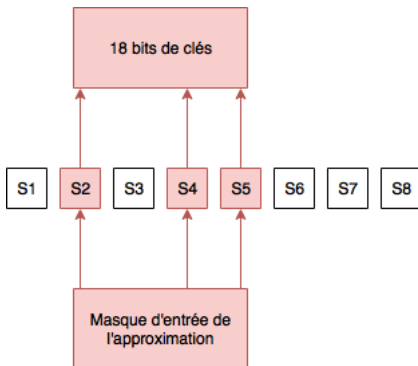


# Présentation de DES (suite)



## Fonctionnement général de l'algorithme 2 de Matsui

- $N$  couples clair/chiffré.
- Approximations linéaires biaisées entre l'entrée et la sortie.
- Déchiffrement partiel.
- **Rang** de la clé : position dans le parcours exhaustif final.
- **Avantage**  $a$  si le rang est inférieur à  $2^{56-a}$ .



Phase de cryptanalyse  
linéaire : associer à chacune  
des  $2^{18}$  classes de clés un  
score.

## Déchiffrement partiel

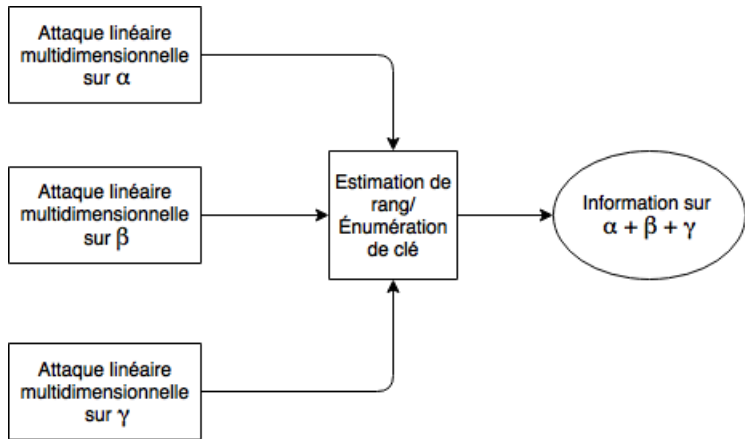
Nombre de bits de clé de dépendance :

Identifiant de la S-box $j$	1	2	3	4	5	6	7	8
Niveau $i = 1$	6	6	6	6	6	6	6	6
Niveau $i = 2$	38	40	39	36	37	36	38	39
Niveau $i = 3$	53	55	52	56	54	55	54	55
Niveau $i = 4$	56	56	56	56	56	56	56	56

1 round déchiffré partiellement en entrée, 1 en sortie.

## Fonctionnement général de l'attaque

- Attaque linéaire multidimensionnelle.
- Combinaison de plusieurs attaques indépendantes.



$\alpha, \beta, \gamma$  : masques de la clé



## 1 Vue d'ensemble de l'attaque

- Présentation de DES
- Fonctionnement général de l'attaque

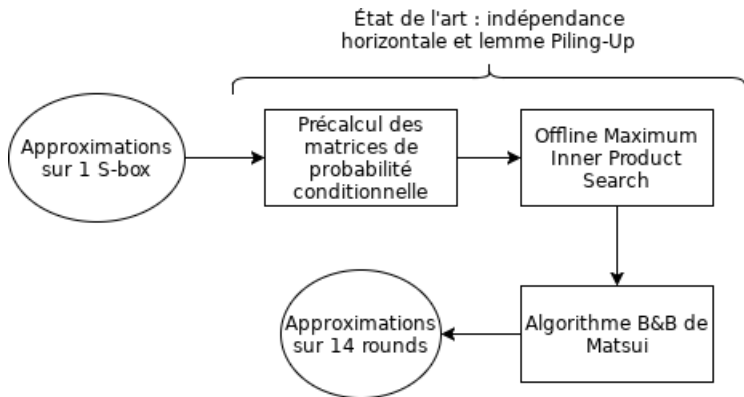
## 2 Génération des approximations linéaires

- Généralités
- Combinaison d'approximations
- Génération des approximations sur 1 round
- Résultats

## 3 Phase d'attaque

- Cryptanalyse multilinéaire (modèle d'Hermelin)
- Optimisation temporelle du déchiffrement partiel
- Estimation de rang
- Résultats de l'attaque

## Schéma de la génération des approximations linéaires



# Définitions

## Définition (approximation linéaire)

- *Approximation linéaire*  $\alpha \cdot u + \beta \cdot v = \gamma \cdot k_0$  de biais :

$$\epsilon = \left| P(\alpha \cdot u + \beta \cdot v = \gamma \cdot k_0) - \frac{1}{2} \right|$$

- *Système de  $m$  approximations linéaires*  $Au + Bv = \Gamma k_0$  de capacité :

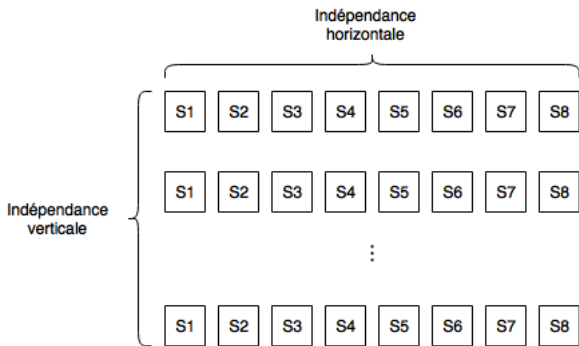
$$C = \sum_{\eta=0}^{2^m-1} \left( P(Au + Bv = \eta) - \frac{1}{2^m} \right)^2$$

# Combinaison d'approximations

## Lemma (Piling-Up)

Si  $X_1, \dots, X_n$  sont des variables aléatoires indépendantes à valeurs dans  $\{0, 1\}$ , alors :

$$P(X_1 + \dots + X_n = 0) = \frac{1}{2} + 2^{n-1} \prod_{i=1}^n \left( P(X_i = 0) - \frac{1}{2} \right)$$



# Hypothèse d'indépendance horizontale

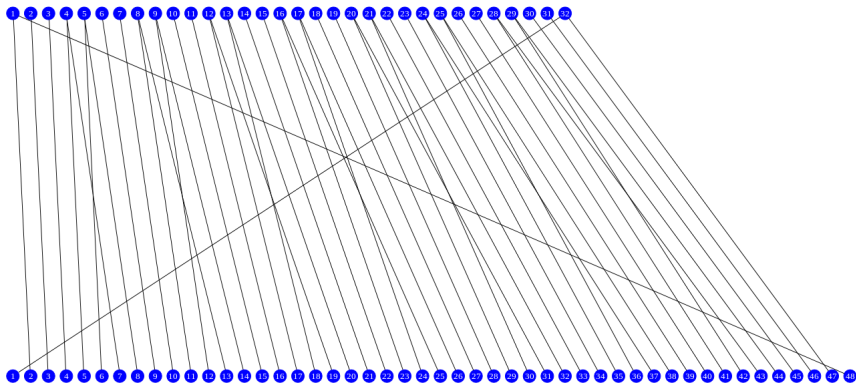


Schéma de la fonction d'expansion (Wikipedia)

# Génération des approximations sur 1 round

## Problème (OFF-MIPS)

*Entrée :  $(l_i)_{1 \leq i \leq n}$  et  $(r_j)_{1 \leq j \leq n}$  vecteurs de  $\mathbf{R}^d$ .*

*Sortie :*

$$\operatorname{argmax}_{\substack{1 \leq i \leq n \\ 1 \leq j \leq n}} \langle l_i, r_j \rangle$$

- Réduction à OFF-MIPS : précalcul de matrices  $4 \times 4$  des biais sur 1 S-box.
- Résolution de OFF-MIPS : algorithme probabiliste.

# Résultats

Algorithme B&B de Matsui :

- Plus court chemin dans un DAG, arêtes de poids positif,  $2^{100}$  nœuds,  $2^{132}$  arêtes.
- Matsui : élagage intelligent.
- En pratique : plus efficace que la génération sur 1 round.

Résultats :

- Simulation de 6h sur un bon serveur.
- Pas de changement de biais pour les approximations principales.
- Multithreading envisagé.
- $\sim 1400$  masques de clé distincts.

## 1 Vue d'ensemble de l'attaque

- Présentation de DES
- Fonctionnement général de l'attaque

## 2 Génération des approximations linéaires

- Généralités
- Combinaison d'approximations
- Génération des approximations sur 1 round
- Résultats

## 3 Phase d'attaque

- Cryptanalyse multilinéaire (modèle d'Hermelin)
- Optimisation temporelle du déchiffrement partiel
- Estimation de rang
- Résultats de l'attaque



# Cryptanalyse multilinéaire (modèle d'Hermelin)

$$Au^{k_0} + Bv^{k_0} = \Gamma k_0$$

## Hypothèse (de la mauvaise clé)

*Si  $k \neq k_0$  et si  $u^k$  et  $v^k$  sont déchiffrés partiellement avec la clé  $k$ , alors  $Au^k + Bv^k$  suit une distribution uniforme.*

Test statistique :

- si  $k = k_0$  : distribution jointe (biaisée).
- si  $k \neq k_0$  : distribution uniforme.

## Définition (distribution empirique)

$$P(k, \eta) = \text{Card}\{i \in \{1, \dots, N\} \mid Ax_i^k + By_i^k = \eta\}$$

$$\text{Test du } \chi^2 : S(k) = \sum_{\eta=0}^{2^m-1} \left( \frac{P(k, \eta)}{N} - \frac{1}{2^m} \right)^2$$

# Des scores aux probabilités

Modèle bayésien :

- $D = \chi^2_{2^m-1}(NC)$  : distribution limite quand  $N \rightarrow \infty$  de  $2^m NS(k)$  si  $k = k_0$ .
- $D' = \chi^2_{2^m-1}(0)$  : idem si  $k \neq k_0$ .

$$P(k = k_0 | S = s) = \text{cte} \times \frac{f_D(S(k))}{f_{D'}(S(k))}$$

# Optimisation temporelle du déchiffrement partiel

Rappel des notations :

- $N$  : nombre de couples clair/chiffré.
- $m$  : nombre d'approximations.
- $t$  : cardinal du masque de clé.

Complexités temporelles :

- Complexité naïve :  $O(Nm2^t)$ .
- Optimisation de Matsui avec précalcul :  $O(N + m2^{2t+m})$ .
- (non implémenté entièrement) Optimisation de Nguyen avec transformée de Fourier/Walsh-Hadamard :  
 $O(N + (t + m)2^{t+m})$ .

# Estimation de rang

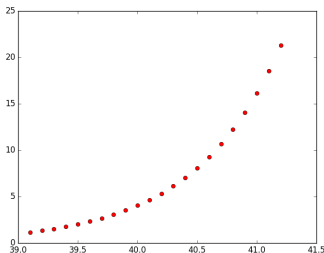
- Outils développés dans mon équipe d'accueil.
- Combine des listes de probabilité pour obtenir une estimation du rang de la clé si on les parcourt par probabilité décroissante.
- Contrainte : morceaux de clé disjoints.

# Combinaison d'attaques multilinéaires

- Avantage fournie par chaque liste connu (Hermelin).
- Combinaison de deux listes de masques de clé disjoints : avantage sommé.
- Compression d'une liste en un masque plus petit : avantage réduit du nombre de bits compressés.

## Problème

*Maximiser l'avantage d'une liste pouvant être obtenue par combinaisons et compressions des listes de départ.*



Résultats avec une file à priorité sur 14 rounds : meilleurs biais théoriques obtenus avec les approximations de Matsui.

## Résultats de l'attaque sur 8 rounds

Biais 1	Biais 2
$1.4648 \times 2^{-11}$	$1.1250 \times 2^{-12}$
$1.4648 \times 2^{-12}$	$1.1250 \times 2^{-13}$
$1.6875 \times 2^{-15}$	$1.1250 \times 2^{-13}$

Figure – Biais des approximations choisies

$N$	$2^{20}$	$2^{22}$	$2^{23}$	$2^{24}$	$2^{25}$	$2^{25.5}$	$2^{26}$
$R_{\min}$	$2^{54.205}$	$2^{54.652}$	$2^{40.340}$	$2^{34}$	$2^{41.175}$	$2^{36}$	$2^{32}$
$R_{\text{round}}$	$2^{54.211}$	$2^{54.658}$	$2^{40.384}$	$2^{34.322}$	$2^{41.224}$	$2^{36.170}$	$2^{33}$
$R_{\max}$	$2^{54.211}$	$2^{54.658}$	$2^{40.384}$	$2^{34.322}$	$2^{41.224}$	$2^{36.170}$	$2^{33}$
$a_{\text{round}}$	1.789	1.342	15.616	21.618	14.776	19.830	23

Figure – Résultats des simulations

# Conclusion

- Attaque complète du DES avec des outils nouveaux.
- Nécessité d'un outil pour faire de l'estimation de rang avec dépendance.
- Résultats difficiles à interpréter.
- Introduction à la cryptanalyse et à la recherche.

# Bibliographie



Miia Hermelin.

*Multidimensional linear cryptanalysis.*

PhD thesis, Aalto University, Espoo, Helsinki, Finland, 2010.



Mitsuru Matsui.

Linear cryptanalysis method for des cipher.

In *Workshop on the Theory and Application of Cryptographic Techniques on Advances in Cryptology*, EUROCRYPT '93, pages 386–397, Secaucus, NJ, USA, 1994. Springer-Verlag New York, Inc.



Romain Poussier, François-Xavier Standaert, and Vincent Grosso.

Simple key enumeration (and rank estimation) using histograms : An integrated approach.

In *CHES*, pages 61–81. Springer, 2016.